

# SYMPTOMY CHIRALNOŚCI W UKŁADACH RDZEŃ-CZĄSTKA-DZIURA

O chiralności inaczej

Stanisław G. Rohoziński

współpraca:

Chrystian Droste, Ernest Grodner, Leszek Próchniak, Krzysztof Starosta

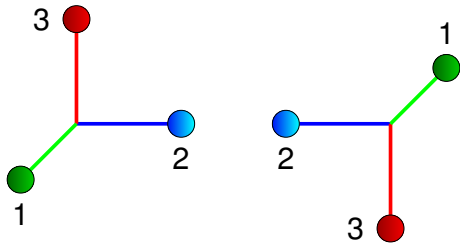
Seminarium "Fizyka Jądra Atomowego"

Warszawa, 3 marca 2011

- 1 Wstęp: Chiralność jądrowa
- 2 Opis jąder nieparzysto-nieparzystych
  - Model sprzężenia rdzeń-cząstka-dziura(CPHC)
  - Model rdzenia parzysto-parzystego
    - Hamiltonian Bohra
    - Parzystość  $\alpha$  rdzenia
  - Powłoka walencyjna
  - Symetria kombinowana układu rdzeń-cząstka-dziura
- 3 Wyniki
  - Dane do rachunku
  - Rdzenie  $\alpha$ -symetryczne
    - Identyczne orbitale
    - Różne orbitale
  - Rdzenie  $\alpha$ -niesymetryczne
- 4 Podsumowanie

# Chiralność

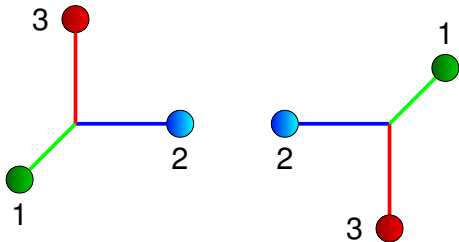
- Chiralność = skrętność układu trzech wektorów



- Układy prawo- i lewo-skrętne łączy inwersja (parzystość) przestrzeni (trójwymiarowej)
- W układach molekularnych: położenia atomów
- W oddziaływaniach fundamentalnych: prawo- i lewo-skrętne relatywistyczne pola spinorowe

# Chiralność

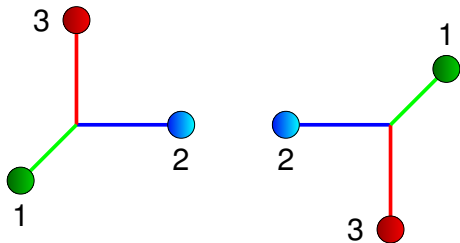
- Chiralność = skrętność układu trzech wektorów



- Układy prawo- i lewo-skrętne łączy inwersja (parzystość) przestrzeni (trójwymiarowej)
  - W układach molekularnych: położenia atomów
  - W oddziaływaniach fundamentalnych: prawo- i lewo-skrętne relatywistyczne pola spinorowe

# Chiralność

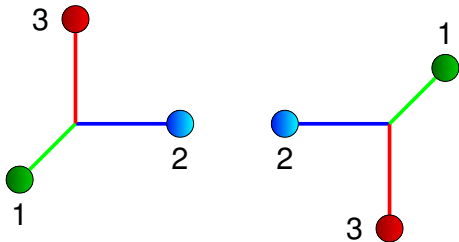
- Chiralność = skrętność układu trzech wektorów



- Układy prawo- i lewo-skrętne łączy inwersja (parzystość) przestrzeni (trójwymiarowej)
- W układach molekularnych: położenia atomów
- W oddziaływaniach fundamentalnych: prawo- i lewo-skrętne relatywistyczne pola spinorowe

# Chiralność

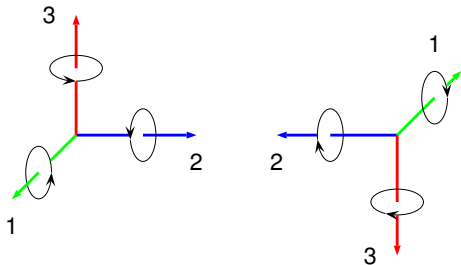
- Chiralność = skrętność układu trzech wektorów



- Układy prawo- i lewo-skrętne łączy inwersja (parzystość) przestrzeni (trójwymiarowej)
- W układach molekularnych: położenia atomów
- W oddziaływaniach fundamentalnych: prawo- i lewo-skrętne relatywistyczne pola spinorowe

# Chiralność jądrowa

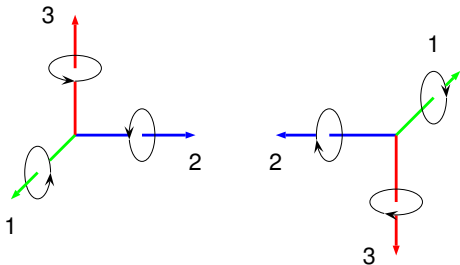
- Chiralność jądrowa = skrętność układu trzech momentów pędu (pseudowektorów)



- Układy prawo- i lewo-skrętne łączy odwrócenie czasu
- Różnice pomiędzy chiralnością a chiralnością jądrową:
  - fizyczna: kierunki krążenia, a nie położenia obiektów czy parzystość pól
  - formalna: odwrócenie czasu jest operacją antyliniową, a inwersja przestrzeni – liniową
- Akceptowana nazwa: chiralność spinowa (spin-chirality)

# Chiralność jądrowa

- Chiralność jądrowa = skrętność układu trzech momentów pędu (pseudowektorów)

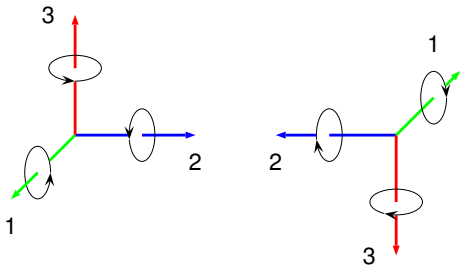


- Układy prawo- i lewo-skrętne łączą odwrócenie czasu
- Różnice pomiędzy chiralnością a chiralnością jądrową:
  - fizyczna: kierunki krążenia, a nie położenia obiektów czy parzystość pól
  - formalna: odwrócenie czasu jest operacją antyliniową, a inwersja przestrzeni – liniową
- Akceptowana nazwa: chiralność spinowa (spin-chirality)



# Chiralność jądrowa

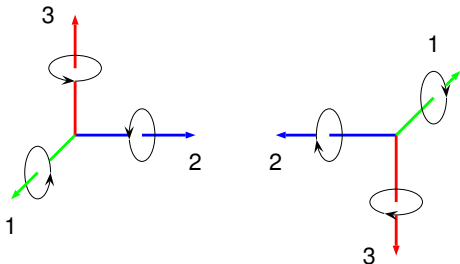
- Chiralność jądrowa = skrętność układu trzech momentów pędu (pseudowektorów)



- Układy prawo- i lewo-skrętne łączą odwrócenie czasu
- Różnice pomiędzy chiralnością a chiralnością jądrową:
  - fizyczna: kierunki krążenia, a nie położenia obiektów czy parzystość pól
  - formalna: odwrócenie czasu jest operacją antyliniową, a inwersja przestrzeni – liniową
- Akceptowana nazwa: chiralność spinowa (spin-chirality)

# Chiralność jądrowa

- Chiralność jądrowa = skrętność układu trzech momentów pędu (pseudowektorów)



- Układy prawo- i lewo-skrętne łączy odwrócenie czasu
- Różnice pomiędzy chiralnością a chiralnością jądrową:
  - fizyczna: kierunki krążenia, a nie położenia obiektów czy parzystość pól
  - formalna: odwrócenie czasu jest operacją antyliniową, a inwersja przestrzeni – liniową
- Akceptowana nazwa: chiralność spinowa (spin-chirality)

# Klasyczny układ chiralny

Model jądra nieparzysto-nieparzystego:

- parzysto-parzysty rdzeń: sztywny, (maksymalnie) trójosiowy rotor
- nieparzysty proton na zdeformowanej powłoce  $j$
- nieparzysta dziura neutronowa na zdeformowanej powłoce  $j$



(Trzy wzajemnie prostopadłe momenty pędu:  $\vec{j}_\pi$ ,  $\vec{j}_\nu$ ,  $\vec{R}$  wzdłuż osi głównych rotora, bo energetycznie najkorzystniejsze jest krążenie cząstki, rdzenia i dziury odpowiednio wokół krótkiej, średniej i długiej osi głównej)

# Symptomy chiralności

Własności jąder uważane za objawy chiralności ("symptomy chiralności"):

- Prawie zdegenerowane dublety pasm rotacyjnych o  $\Delta I = 1$  i tej samej parzystości (chiralne pasma partnerskie — chiral partner bands)
- Podobne własności elektromagnetyczne pasm (momenty, prawdopodobieństwa przejść)
- Oscylacje (staggering) wartości prawdopodobieństw przejść M1 i E2 o  $\Delta I = 1$  wewnątrz pasm (intra-band) i pomiędzy pasmami (inter-band)
- Ale: wg. Ernesta Grodniera staggering nie wynika bezpośrednio z chiralności, a z dodatkowych symetrii układów chiralnych
- 1. Czy chiralność jest warunkiem koniecznym występowania "symptomów chiralności"?  
Nie znamy (jeszcze) odpowiedzi na to pytanie!
- Jakie są warunki dostateczne występowania "symptomów chiralności"?  
Podamy warunki dostateczne!

# Symptomy chiralności

Własności jąder uważane za objawy chiralności ("symptomy chiralności"):

- Prawie zdegenerowane dublety pasm rotacyjnych o  $\Delta I = 1$  i tej samej parzystości (chiralne pasma partnerskie — chiral partner bands)
- Podobne własności elektromagnetyczne pasm (momenty, prawdopodobieństwa przejść)
- Oscylacje (staggering) wartości prawdopodobieństw przejść M1 i E2 o  $\Delta I = 1$  wewnątrz pasm (intra-band) i pomiędzy pasmami (inter-band)
- Ale: wg. Ernesta Grodniera staggering nie wynika bezpośrednio z chiralności, a z dodatkowych symetrii układów chiralnych
- **1. Czy chiralność jest warunkiem koniecznym występowania "symptomów chiralności"?**  
Nie znamy (jeszcze) odpowiedzi na to pytanie!
- **Jakie są warunki dostateczne występowania "symptomów chiralności"?**  
Podamy warunki dostateczne!

# Symptomy chiralności

Własności jąder uważane za objawy chiralności ("symptomy chiralności"):

- Prawie zdegenerowane dublety pasm rotacyjnych o  $\Delta I = 1$  i tej samej parzystości (chiralne pasma partnerskie — chiral partner bands)
- Podobne własności elektromagnetyczne pasm (momenty, prawdopodobieństwa przejść)
- Oscylacje (staggering) wartości prawdopodobieństw przejść M1 i E2 o  $\Delta I = 1$  wewnątrz pasm (intra-band) i pomiędzy pasmami (inter-band)
- Ale: wg. Ernesta Grodniera staggering nie wynika bezpośrednio z chiralności, a z dodatkowych symetrii układów chiralnych
- **1. Czy chiralność jest warunkiem koniecznym występowania "symptomów chiralności"?**  
Nie znamy (jeszcze) odpowiedzi na to pytanie!
- **Jakie są warunki dostateczne występowania "symptomów chiralności"?**  
Podamy warunki dostateczne!

# Model sprzężenia rdzeń-cząstka-dziura

- Hamiltonian mikroskopowy:

$$\hat{H} = \sum_{\tau, \xi} \varepsilon_{\tau}(\xi) a_{\tau \xi m_{\xi}}^{\dagger} a_{\tau \xi m_{\xi}} - \frac{1}{2} \chi \hat{Q}^{\dagger} \cdot \hat{Q}$$

gdzie  $\tau = \pi$  (proton),  $\nu$  (neutron); orbital jednocząstkowy  $\xi = n_{\xi} l_{j_{\xi}}$ ; jednocząstkowy moment kwadrupolowy  $q_{\tau}$ ; masowy moment kwadrupolowy

$$\hat{Q}_M = \frac{1}{\sqrt{5}} \sum_{\tau=\pi, \nu} \sum_{\xi, \xi'} \langle \tau \xi \| q_{\tau} \| \tau \xi' \rangle [a_{\tau \xi}^{\dagger} \times \tilde{a}_{\tau \xi'}]_{2M}$$

- Równania ruchu na operator pary cząstka-dziura  $[a_{\pi \rho}^{\dagger} \times \tilde{a}_{\nu \sigma}]_{LM}$  z komutatora:  $[\hat{H}, [a_{\pi \rho}^{\dagger} \times \tilde{a}_{\nu \sigma}]_{LM}] =$
- Rozłożenie jądra nieparzysto-nieparzystego ( $Z, N$ ) na układ trzech ciał (linearyzacja równań ruchu):
  - parzysto-parzysty rdzeń ( $Z - 1, N + 1$ )
  - nieparzysty proton  $\pi$
  - nieparzystą dziurę neutronową  $\nu^{-1}$

# Model sprzężenia rdzeń-cząstka-dziura

- Stany jądra nieparzysto-nieparzystego:

$$\begin{aligned}
 & |Z, N; I_i M\rangle \\
 &= \sum_{\rho, \sigma} \sum_{L, R, r} U_{Ii}(\rho, \sigma, L, R, r) \left[ [a_{\pi\rho}^\dagger \times \tilde{a}_{\nu\sigma}]_L \times |Z-1, N+1; R_r\rangle \right]_{IM}
 \end{aligned}$$

- Równania na amplitudy

$$U_{Ii}(\rho, \sigma, L, R, r) = \langle Z, N; I_i | [a_{\pi\rho}^\dagger \times \tilde{a}_{\nu\sigma}]_L | Z-1, N+1; R_r \rangle / \sqrt{2I+1}$$

są postaci:

$$\begin{aligned}
 & \sum_{\rho', \sigma', L', R', r'} \mathcal{H}(\rho, \sigma, L, R, r | \rho', \sigma', L', R', r') U_{Ii}(\rho', \sigma', L', R', r') \\
 &= \mathcal{E}_{Ii} U_{Ii}(\rho, \sigma, L, R, r)
 \end{aligned}$$



# Model sprzężenia rdzeń-cząstka-dziura

Macierz Hamiltonianu:

$$\begin{aligned}
 & \mathcal{H}_I(\rho, \sigma, L, R, r | \rho', \sigma', L', R', r') \\
 &= (E(R_r) + \varepsilon_\pi(\rho) - \varepsilon_\nu(\sigma)) \delta_{\rho\rho'} \delta_{\sigma\sigma'} \delta_{LL'} \delta_{RR'} \delta_{rr'} \\
 & - \chi (-1)^{R+I} \sqrt{2L+1} \sqrt{2L'+1} \left\{ \begin{matrix} L' & 2 & L \\ R & 1 & R' \end{matrix} \right\} \langle R_r \| Q \| R'_r \rangle \\
 & \times \left[ (-1)^{j_\rho + j_\sigma} \left\{ \begin{matrix} j_{\rho'} & 2 & j_\rho \\ L & j_\sigma & L' \end{matrix} \right\} \langle \rho \| \mathbf{q}_\pi \| \rho' \rangle \delta_{\sigma\sigma'} \right. \\
 & \left. - (-1)^{j_\rho + j_{\sigma'} + L + L'} \left\{ \begin{matrix} j_{\sigma'} & 2 & j_\sigma \\ L & j_\rho & L' \end{matrix} \right\} \delta_{\rho\rho'} \langle \sigma \| \mathbf{q}_\nu \| \sigma' \rangle \right] \\
 & + \chi (-1)^{j_{\rho'} + j_\sigma + L} \left\{ \begin{matrix} j_{\sigma'} & 2 & j_\sigma \\ j_\rho & L & j_{\rho'} \end{matrix} \right\} \\
 & \times \delta_{LL'} \delta_{RR'} \delta_{rr'} \langle \rho \| \mathbf{q}_\pi \| \rho' \rangle \langle \sigma \| \mathbf{q}_\nu \| \sigma' \rangle,
 \end{aligned}$$

gdzie  $Q$  moment kwadrupolowy, a  $E(R_r)$  poziomy energetyczne rdzenia

# Hamiltonian Bohra

- Rdzeń jest obiektem opisywanym Hamiltonianem Bohra (dowolnej postaci)
- Stany rdzenia  $|Z - 1, N + 1; R, M_R\rangle$  są stanami własnymi Hamiltonianu Bohra
- Szczególna postać Hamiltonianu Bohra przyjęta w analizie:

$$\begin{aligned}
 & H(\beta, \gamma, \Omega) \\
 &= -\frac{1}{2B_{\beta\beta}} \frac{1}{\beta^4} \frac{\partial}{\partial \beta} \left( \beta^4 \frac{\partial}{\partial \beta} \right) - \frac{1}{2B(\gamma)} \frac{\Lambda^2(\gamma, \Omega)}{\beta^2} + V(\beta, \gamma)
 \end{aligned}$$

- Zmienne kolektywne:
  - Parametry deformacji Bohra  $\beta$  i  $\gamma$
  - Kąty Eulera  $\Omega$  orientacji układu wewnętrznego względem układu laboratoryjnego

# Hamiltonian Bohra

- Operator Casimira grupy SO(5):

$$\Lambda^2(\gamma, \Omega) = \frac{1}{\sin 3\gamma} \frac{\partial}{\partial \gamma} \left( \sin 3\gamma \frac{\partial}{\partial \gamma} \right) - \sum_{k=1}^3 \frac{R_k^2(\Omega)}{\sin^2(\gamma - 2\pi k/3)}$$

gdzie  $R_k(\Omega)$  są składowymi wewnętrznymi (bezwymiarowego) operatora momentu pędu

- Potencjał kolektywny:

$$V(\beta, \gamma) = \frac{1}{2} V_C \beta^2 + (G + h_1 \cos 3\gamma + h_2 (\cos^2 3\gamma - 1)^\kappa) \times (\exp(-\beta^2/d^2) - 1)$$

- Parametr masowy:

$$B(\gamma) = b_0 + b_1 \cos 3\gamma$$

# Hamiltonian Bohra

- Parametry potencjału (6):

$V_C, G, h_1, h_2, \kappa$  i  $d$

- Parametry energii kinetycznej (3):

$b_0$  and  $b_1$  i  $B_{\beta\beta}$

- Wybór parametrów:

- Różne miękkości potencjału w  $\gamma$ :  $h_2$  and  $\kappa$
- Różne asymetrie Hamiltonianu w  $\gamma$ :  $h_1$  and  $b_1$
- Pozostałe takie, aby energia stanu  $2_1^+$ ,  $E(2_1^+)$ , zredukowane prawdopodobieństwo przejścia  $B(E2; 2_1^+ \rightarrow 0_1^+)$  i deformacja równowagi  $\beta_0$  były bliskie wartościom:  $E(2_1^+) = 354$  keV,  $B(E2; 2_1^+ \rightarrow 0_1^+) = 0.282 e^2 b^2$  i  $\beta_0 = 0.25$   
(dane doświadczalne dla  ${}^{128}_{56}\text{Ba}$  ( $A = 128, Z - 1 = 56$ ))

# Parzystość $\alpha$ rdzenia

- Laboratoryjne współrzędne kwadrupolowe są zdefiniowane przez  $\beta$ ,  $\gamma$ ,  $\Omega$  w następujący sposób:

$$\alpha_\mu(\beta, \gamma, \Omega) = D_{\mu 0}^2(\Omega) \beta \cos \gamma + \frac{1}{\sqrt{2}} (D_{\mu 2}^2(\Omega) + D_{\mu -2}^2(\Omega)) \beta \sin \gamma$$

- Inwersja  $P_\alpha$  w pięciowymiarowej przestrzeni współrzędnych  $\alpha_\mu$  (element grupy  $O(5)$ ):  $\alpha_{2\mu} \rightarrow -\alpha_{2\mu}$
- Możliwa realizacja inwersji w zmiennych wewnętrznych:  $\gamma \rightarrow \gamma \pm \pi$ .
- Jeżeli Hamiltonian Bohra jest niezmienniczy względem  $P_\alpha$ , czyli  $P_\alpha H P_\alpha = H$  stany rdzenia  $|Z - 1, N + 1; R_r\rangle$  mają określoną parzystość  $\alpha$ :  $p_\alpha(R_r) = \pm 1$   
(w rachunkach wtedy, gdy  $h_1 = b_1 = 0$ )
- To nie jest parzystość fizyczna  $O(3)$ ! Wszystkie stany rdzenia mają parzystość fizyczną dodatnią
- Elektryczny moment kwadrupolowy  $M(E2) \sim Q \sim \alpha$  niesie ujemną parzystość  $\alpha$ . Stąd

$$\langle R_r || Q || R_r \rangle = 0, \langle R_r || [[\alpha \times \alpha]_2 \times \alpha]_0 || R_r \rangle \sim \langle R_r || \beta^3 \cos 3\gamma || R_r \rangle = 0$$

# Konfiguracje cząstkowo-dziurowe

- Bazy stanów protonu  $\{\rho\} = \{n_\rho l_{j_\rho}\}$  i dziury neutronowej  $\{\sigma^{-1}\} = \{n_\sigma l_{j_\sigma}^{-1}\}$  są ograniczone (powłoka walencyjna)
- W rachunkach założono, że obie bazy składają się z pojedynczego orbitala
  - Orbital protonowy:  $\pi 1 h_{11/2}$
  - Możliwe orbitale dziury neutronowej:  $\nu 1 h_{11/2}^{-1}$  lub  $\nu 1 g_{9/2}^{-1}$  lub  $\nu 1 f_{7/2}^{-1}$
- Przypadek identycznych baz dla protonu i dziury neutronowej
  - Operacja  $C_{\pi\nu}$  zamiany stanów:  
 $\pi\rho \rightarrow \nu\rho^{-1}$  i  $\nu\sigma^{-1} \rightarrow \pi\sigma$
  - Działanie na stany bazy jądra nieparzysto-nieparzystego

$$\begin{aligned}
 & C_{\pi\nu} |(\pi j_\rho \nu j_\sigma^{-1}) L R_r; I M_I\rangle \\
 & = (-1)^{j_\rho + j_\sigma - L} |(\pi j_\sigma \nu j_\rho^{-1}) L R_r; I M_I\rangle
 \end{aligned}$$

Elementy macierzowe:

$$C_{\pi\nu}(\rho', \sigma', L', R', r' | \rho, \sigma, L, R, r) = (-1)^{j_\rho + j_\sigma - L} \delta_{\rho'\sigma} \delta_{\sigma'\rho} \delta_{L'L} \delta_{R'R} \delta_{r'r}$$

# Symetria kombinowana S

- Jeżeli
  - Rdzeń zachowuje symetrię  $P_\alpha$  (rdzeń  $\alpha$ -parzysty)
  - Powłoka walencyjna jest  $C_{\pi\nu}$  symetryczna

to

$$C_{\pi\nu} P_\alpha \mathcal{H}_I P_\alpha C_{\pi\nu} = \mathcal{H}_I$$

czyli oddziałujący układ rdzeń-cząstka-dziura posiada symetrię kombinowaną

$$S = C_{\pi\nu} P_\alpha$$

- Wtedy stany jądra nieparzysto-nieparzystego  $|Z, N; I_i M_I\rangle$  mają określoną parzystość kombinowaną  $s = \pm 1$ .
- Symetria A Hamamoto et al. jest szczególnym przypadkiem symetrii S (stosuje się tylko do klasycznego układu chiralnego — sztywny rdzeń, cząsta i dziura na tej samej zdeformowanej powłoce  $j$ )

# Symetria S elektrycznego momentu kwadrupolowego

- Tylko część kolektywna operatora elektrycznego momentu kwadrupolowego  $M(E2) \sim Q$  niesie określoną (ujemną) parzystość kombinowaną  $s = -1$ .

Całkowity elektryczny moment kwadrupolowy

$$\mathcal{M}(E2) = M(E2) + e_{\pi} q_{\pi} - e_{\nu} q_{\nu}$$

nie ma określonej parzystości kombinowanej, bo  $e_{\pi} \neq e_{\nu}$ !

- Ładunki efektywne używane w rachunkach:  
 $e_{\pi} = e$ ,  $e_{\nu} = 0$  (ładunki rzeczywiste)



# Symetria S magnetycznego momentu dipolowego

- Operator dipolowego momentu magnetycznego

$$\begin{aligned}
 \mathcal{M}(M1) &= \sqrt{\frac{3}{4\pi}} \mu_N [g_R \vec{R} + g_{\pi l} \vec{l}_\pi + g_{\pi s} \vec{s}_\pi + g_{\nu l} \vec{l}_\nu + g_{\nu s} \vec{s}_\nu] \\
 &= \sqrt{\frac{3}{4\pi}} \mu_N \{ g_R \vec{l} \\
 &\quad + (g_{\pi l} - g_R) \vec{l}_\pi + (g_{\nu l} - g_R) \vec{s}_\pi \\
 &\quad + (g_{\nu l} - g_R) \vec{l}_\nu + (g_{\nu s} - g_R) \vec{s}_\nu \}
 \end{aligned}$$

składa się z części diagonalnej (moment magnetyczny) i części niediagonalnej (przejścia M1), która jest tylko w przybliżeniu s-nieparzysta

- Współczynniki giromagnetyczne używane w rachunkach:

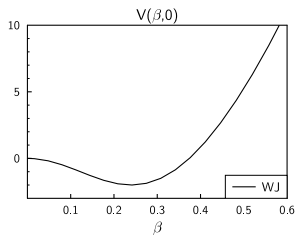
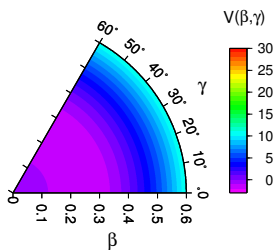
$$\begin{aligned}
 g_{\pi l} - g_R &= 0.56, & g_{\nu l} - g_R &= -0.44, \\
 g_{\pi s} - g_R &= 2.91, & g_{\nu s} - g_R &= -2.73.
 \end{aligned}$$

# Dane

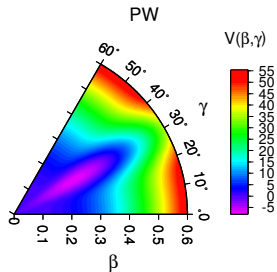
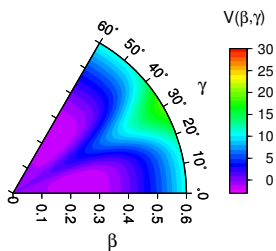
- Fikcyjne jądro  $Z = 57$ ,  $N = 71$  ( $^{128}\text{La}$  ?)
- Stała sprzężenia kwadrupolowego:  
 $\chi = 40\text{MeV}/b^2$  (względnie duża wartość)
- Rdzenie  $\alpha$ -symetryczne ( $h_1 = 0$ )
  - Rdzenie:
    - $h_2 = 20$  MeV [studnia potencjału (PW)],
    - $h_2 = -8$  MeV [bariera potencjału (PB)],
    - $h_2 = 0$  [potencjał Wiletsa-Jeana (WJ) ]
  - Powłoki walencyjne:
    - Identyczne orbitale:  $\pi 1h_{11/2}$ ,  $\nu 1h_{11/2}^{-1}$  (symetria  $C_{\pi\nu}$ )
    - Różne orbitale: proton  $\pi 1h_{11/2}$ , neutron  $\nu 1g_{9/2}^{-1}$  lub  $\nu 1f_{7/2}^{-1}$  (brak symetrii  $C_{\pi\nu}$ )
- Rdzenie niesymetryczne ( $h_2 = 0$ )
  - Rdzenie:
    - $h_1 = 2$  MeV [ $\langle\gamma\rangle \approx 21^\circ$ ],
    - $h_1 = 8$  MeV [ $\langle\gamma\rangle \approx 15^\circ$ ]
  - Identyczne orbitale:  $\pi 1h_{11/2}$ ,  $\nu 1h_{11/2}^{-1}$  (symetria  $C_{\pi\nu}$ )

## Potencjały kolektywne

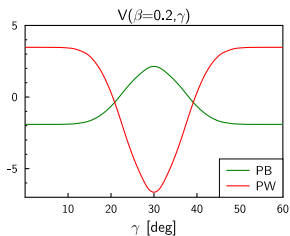
WJ



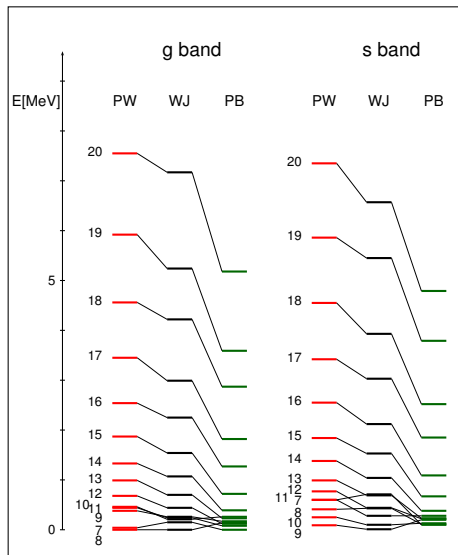
PB



PW



# Pasma partnerskie



Pasma podstawowe (g) and boczne (s) w przypadku  $\alpha$ -symetrycznych rdzeni i konfiguracji cząstka-dziura  $\pi h_{11/2} \otimes \nu h_{11/2}^{-1}$

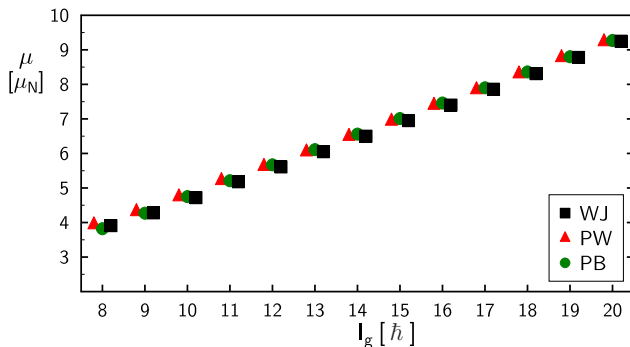
# Pasma partnerskie

- Pasma partnerskie występują przy dowolnej sztywności rdzeni.
- "Rozciągnięcie"(stretching) pasm rośnie wraz ze wzrostem sztywności potencjału w  $\gamma$ .
- Rozszczepienie pasm maleje wraz z wzrostem sztywności.
- **Zdziwienie:** dla bariery obraz podobny jak dla studni.

# Pasma partnerskie

- Pasma partnerskie występują przy dowolnej sztywności rdzeni.
- "Rozciągnięcie"(stretching) pasm rośnie wraz ze wzrostem sztywności potencjału w  $\gamma$ .
- Rozszczepienie pasm maleje wraz z wzrostem sztywności.
- **Zdziwienie:** dla bariery obraz podobny jak dla studni.

# Magnetyczne momenty dipolowe

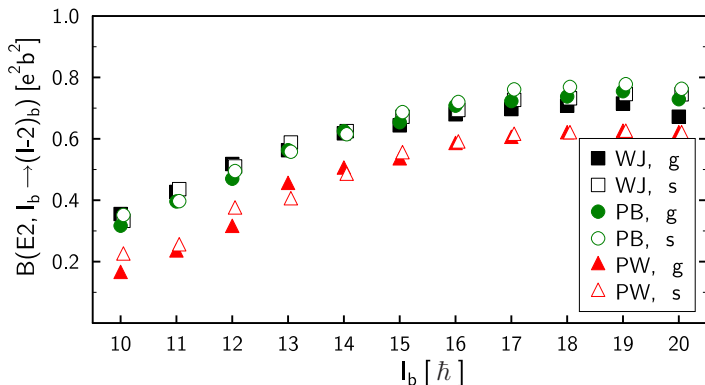


Rysunek: Magnetyczne momenty dipolowe  $\mu(I_g)$  w paśmie podstawowym.

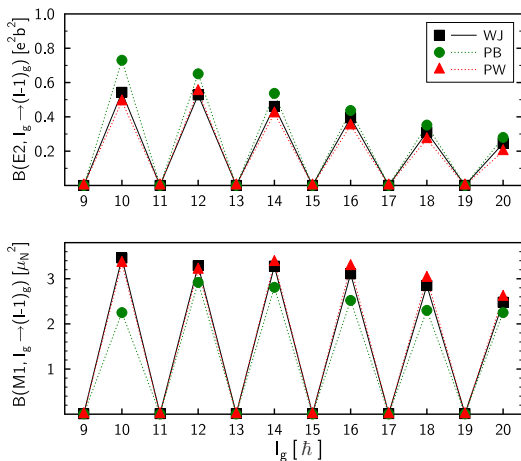
# Momenty elektromagnetyczne

- Wartości magnetycznych momentów dipolowych w paśmie bocznym są dla danego spinu bliskie wartościom momentów w paśmie podstawowym.
- Wartości magnetycznych momentów dipolowych praktycznie nie zależą od sztywności rdzenia.
- Elektryczne momenty kwadrupolowe w obu pasmach są bliskie zeru dla dowolnego potencjału i dowolnego spinu (mniejsze od oszacowań jednocząstkowych dla danego spinu ( $|Q| < 0.1 eb$ )).

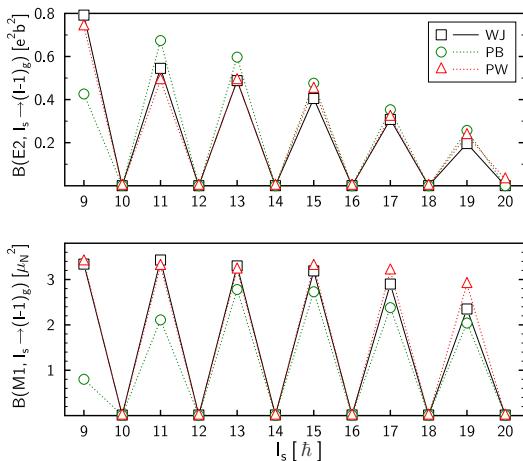


Przejścia E2 z  $\Delta I = 2$ 

**Rysunek:** Zredukowane prawdopodobieństwa przejść  $B(E2; I_b \rightarrow (I-2)_b)$  wewnątrz pasma podstawowego ( $b=g$ ) i pasma bocznego ( $b=s$ ).

Przejścia z  $\Delta I = 1$  wewnątrz pasm

**Rysunek:** Zredukowane prawdopodobieństwa przejść E2 i M1 z  $\Delta I = 1$  wewnątrz pasma podstawowego.

Przejścia z  $\Delta I = 1$  pomiędzy pasmami

Rysunek: Zredukowane prawdopodobieństwa przejść E2 i M1 z  $\Delta I = 1$  pomiędzy pasmami.

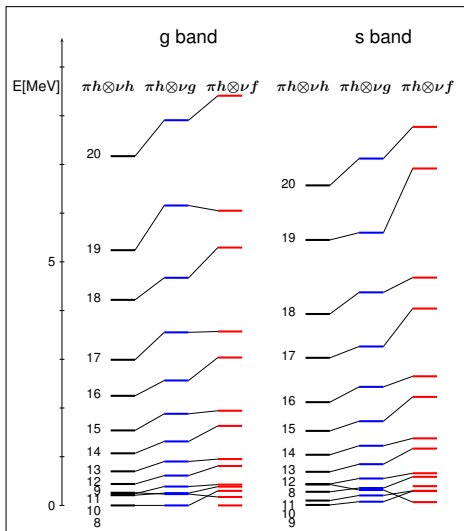
# Rola symetrii $S$

- Układy rdzeń-cząstka-dziura o  $\alpha$ -symetrycznym rdzeniu i symetrycznej konfiguracji cząstka-dziura przejawiają następujące cechy:
  - Dublety pasm rotacyjnych o podobnych własnościach elektromagnetycznych
  - Wartości prawdopodobieństw przejść E2 i M1 o  $\Delta I = 1$  wykazują charakterystyczne oscylacje (staggering)
- Układy o symetrii  $S$  wykazują wszystkie symptomy chiralności

# Rola symetrii $S$

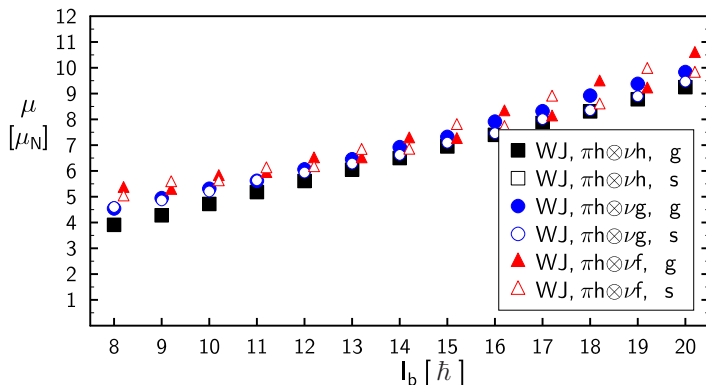
- Układy rdzeń-cząstka-dziura o  $\alpha$ -symetrycznym rdzeniu i symetrycznej konfiguracji cząstka-dziura przejawiają następujące cechy:
  - Dublety pasm rotacyjnych o podobnych własnościach elektromagnetycznych
  - Wartości prawdopodobieństw przejść E2 i M1 o  $\Delta I = 1$  wykazują charakterystyczne oscylacje (staggering)
- Układy o symetrii  $S$  wykazują wszystkie symptomy chiralności

# Pasma partnerskie



Pasma podstawowe (g) i boczne (s) obliczone z rdzeniem WJ i konfiguracjach cząstka-dziura  $\pi h_{11/2} \otimes \nu h_{11/2}^{-1}$ ,  $\pi h_{11/2} \otimes \nu g_{9/2}^{-1}$  i  $\pi h_{11/2} \otimes \nu f_{7/2}^{-1}$

# Magnetyczne momenty dipolowe

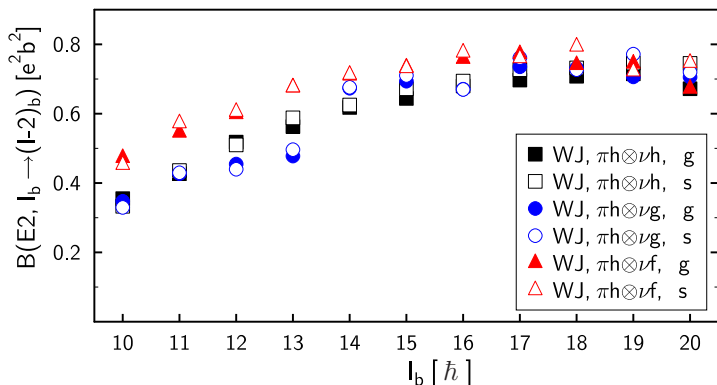


**Rysunek:** Magnetyczne momenty dipolowe  $\mu(I_b)$  w paśmie podstawowym ( $b=g$ ) i bocznym ( $b=s$ ) przy różnych konfiguracjach cząstka-dziura.

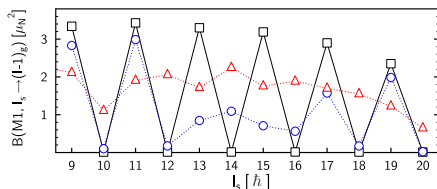
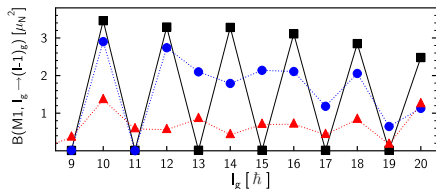
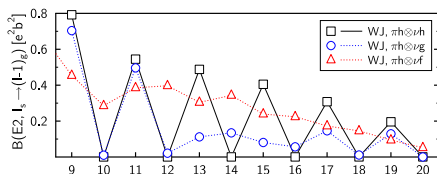
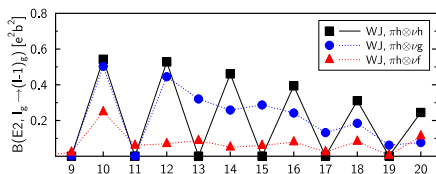
## Elektryczne momenty kwadrupolowe

	$I_b$		$\pi h \otimes \nu h$	$\pi h \otimes \nu g$	$\pi h \otimes \nu f$
udział	$8_g$	$s = +1$	1.00	0.82	0.60
s-parzystości		$s = -1$	0.00	0.18	0.40
moment kwadrupolowy		$Q[eb]$	-0.014	-0.480	-0.852
udział	$8_s$	$s = +1$	0.00	0.28	0.49
s-parzystości		$s = -1$	1.00	0.72	0.51
moment kwadrupolowy		$Q[eb]$	0.019	-0.455	-0.721
udział	$20_g$	$s = +1$	1.00	0.96	0.30
s-parzystości		$s = -1$	0.00	0.04	0.70
moment kwadrupolowy		$Q[eb]$	-0.068	-0.082	-0.157
udział	$20_s$	$s = +1$	0.00	0.04	0.71
s-parzystości		$s = -1$	1.00	0.96	0.30
moment kwadrupolowy		$Q[eb]$	-0.063	-0.256	-0.506



Rozciągnięte ( $\Delta I = 2$ ) przejścia E2

**Rysunek:** Zredukowane prawdopodobieństwa  $B(E2; I_b \rightarrow (I-2)_b)$  rozciągniętych przejść E2 wewnątrz pasm podstawowego ( $b=g$ ) i bocznego ( $b=s$ ).

Przejścia E2 i M1 z  $\Delta I = 1$ 

**Rysunek:** Zredukowane prawdopodobieństwa przejść E2 i M1 z  $\Delta I = 1$  wewnęnią pasma g (lewy) i pomiędzy pasmami (prawy).

# Skutki złamania symetrii proton-neutron

- Większe rozszczepienia pasm partnerskich.
- Magnetyczne momenty dipolowe mało zależą od konfiguracji i nadal mało różnią się pomiędzy pasmami.
- Elektryczne momenty kadrupolowe stają się względnie duże i przyjmują różne wartości w obu pasmach (skutek złamania symetrii  $S$ ).
- Słaba zależność prawdopodobieństw rozciągniętych przejść  $E2$  od konfiguracji cząstka-dziura i nadal małe różnice pomiędzy pasmami.
- Oscylacje (staggering) wartości  $B(E2)$  i  $B(M1)$  wewnątrz pasma i pomiędzy pasmami znacznie słabsze i nieregularne.

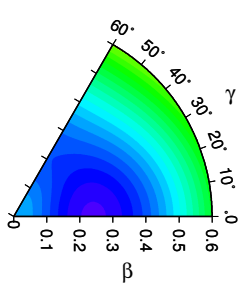
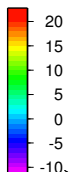
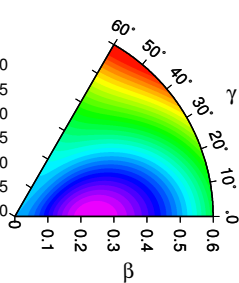
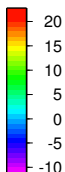
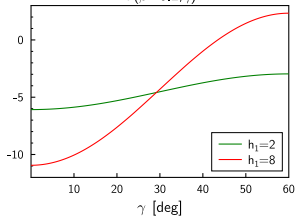
Na dwoje babka wróżyła: niektóre symptomy chiralności zanikają.

# Skutki złamania symetrii proton-neutron

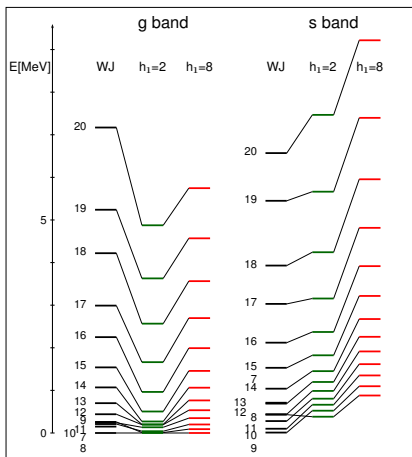
- Większe rozszczepienia pasm partnerskich.
- Magnetyczne momenty dipolowe mało zależą od konfiguracji i nadal mało różnią się pomiędzy pasmami.
- Elektryczne momenty kadrupolowe stają się względnie duże i przyjmują różne wartości w obu pasmach (skutek złamania symetrii  $S$ ).
- Słaba zależność prawdopodobieństw rozciągniętych przejść  $E2$  od konfiguracji cząstka-dziura i nadal małe różnice pomiędzy pasmami.
- Oscylacje (staggering) wartości  $B(E2)$  i  $B(M1)$  wewnątrz pasma i pomiędzy pasmami znacznie słabsze i nieregularne.

**Na dwoje babka wróżyła:** niektóre symptomy chiralności zanikają.

## Niesymetryczne potencjały kolektywne rdzenia

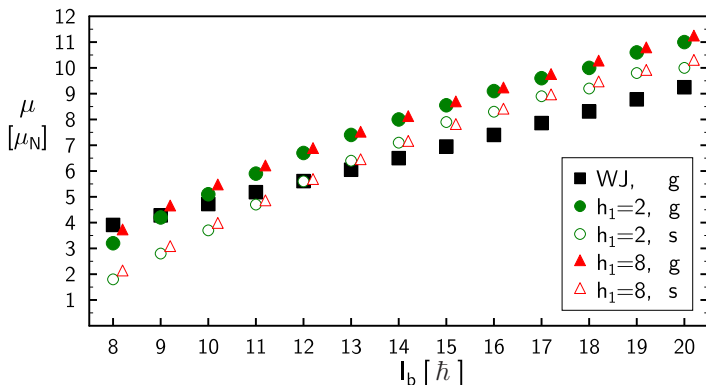
 $h_1=2$  $V(\beta, \gamma)$  $h_1=8$  $V(\beta, \gamma)$  $V(\beta=0.2, \gamma)$ 

# Pasma partnerskie



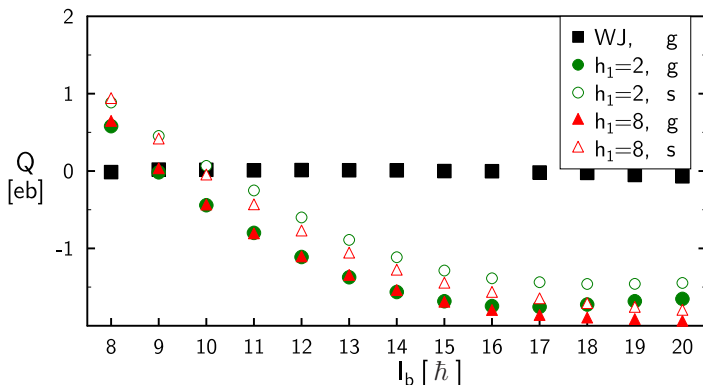
Pasma podstawowe (g) i boczne (s) przy rdzeniach  $\alpha$ -niesymetrycznych i symetrycznej konfiguracji cząstka-dziura  $\pi h_{11/2} \otimes \nu h_{11/2}^{-1}$

## Magnetyczne momenty dipolowe



**Rysunek:** Magnetyczne momenty dipolowe  $\mu(I_b)$  w pasmach: podstawowym ( $b=g$ ) i bocznym ( $b=s$ ).

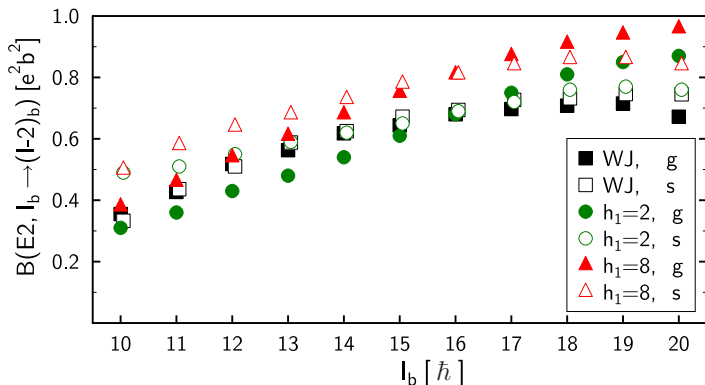
## Elektryczne momenty kwadrupolowe



**Rysunek:** Elektryczne momenty kwadrupolowe  $Q(I_b)$  w pasmach: podstawowym ( $b=g$ ) i bocznym ( $b=s$ ).

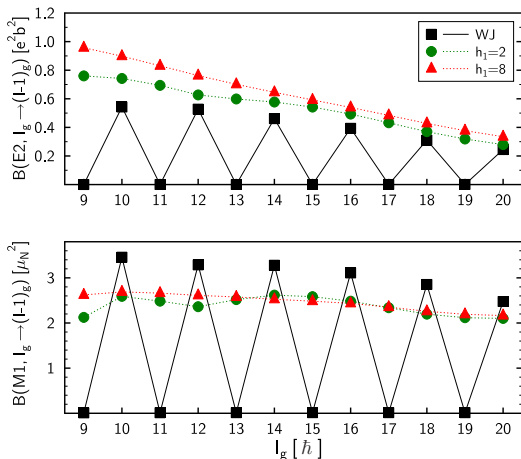


## Rozciągnięte przejścia E2

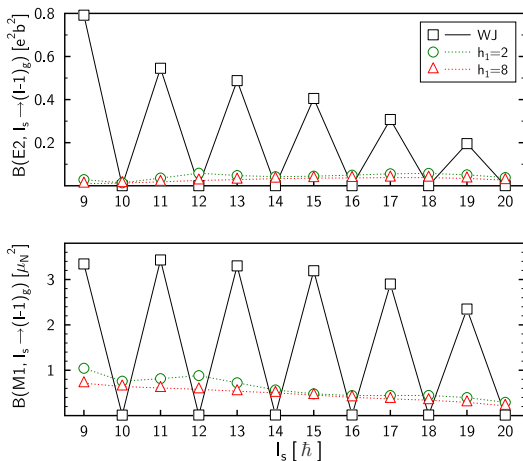


**Rysunek:** Zredukowane prawdopodobieństwa przejść  $B(E2; I_b \rightarrow (I-2)_b)$  wewnątrz pasm podstawowego ( $b=g$ ) i bocznego ( $b=s$ ).

# Przejścia E2 i M1 z $\Delta I = 1$ wewnątrz pasma podstawowego



**Rysunek:** Zredukowane prawdopodobieństwa przejść E2 i M1 z  $\Delta I = 1$  wewnątrz pasma podstawowego.

Przejścia E2 i M1 z  $\Delta I = 1$  pomiędzy pasmami

Rysunek: Zredukowane prawdopodobieństwa przejść E2 i M1 z  $\Delta I = 1$  pomiędzy pasmami.

# Skutki złamania symetrii $P_\alpha$ rdzenia

- Silne rozszczepienie pasm g i s (pasma partnerskie?).
- Nadal małe różnice magnetycznych momentów dipolowych pomiędzy pasmami.
- Duże wartości elektrycznych momentów kwadrupolowych.
- Wyraźne różnice wartości  $Q$  w obu pasmach.
- Nadal niewielka zależność  $B(E2)$  z  $\Delta I = 2$  od pasma.
- Zniknięcie oscylacji (staggering) w wartościach prawdopodobieństw przejść E2 i M1 z  $\Delta I = 1$  wewnątrz pasm i pomiędzy pasmami nawet przy małej asymetrii  $\alpha$ .
- Słabe przejścia E2 i M1 z  $\Delta I = 1$  pomiędzy pasmami.

Dla rdzeni asymetrycznych symptomy chiralności zanikają.

Podobnie jest przy złamaniu  $\alpha$ -symetrii kolektywnej energii kinetycznej rdzenia ( $b_1 \neq 0$ ).

# Skutki złamania symetrii $P_\alpha$ rdzenia

- Silne rozszczepienie pasm g i s (pasma partnerskie?).
- Nadal małe różnice magnetycznych momentów dipolowych pomiędzy pasmami.
- Duże wartości elektrycznych momentów kwadrupolowych.
- Wyraźne różnice wartości  $Q$  w obu pasmach.
- Nadal niewielka zależność  $B(E2)$  z  $\Delta I = 2$  od pasma.
- Zniknięcie oscylacji (staggering) w wartościach prawdopodobieństw przejść E2 i M1 z  $\Delta I = 1$  wewnątrz pasm i pomiędzy pasmami nawet przy małej asymetrii  $\alpha$ .
- Słabe przejścia E2 i M1 z  $\Delta I = 1$  pomiędzy pasmami.

**Dla rdzeni asymetrycznych symptomy chiralności zanikają.**

Podobnie jest przy złamaniu  $\alpha$ -symetrii kolektywnej energii kinetycznej rdzenia ( $b_1 \neq 0$ ).

# Skutki złamania symetrii $P_\alpha$ rdzenia

- Silne rozszczepienie pasm g i s (pasma partnerskie?).
- Nadal małe różnice magnetycznych momentów dipolowych pomiędzy pasmami.
- Duże wartości elektrycznych momentów kwadrupolowych.
- Wyraźne różnice wartości  $Q$  w obu pasmach.
- Nadal niewielka zależność  $B(E2)$  z  $\Delta I = 2$  od pasma.
- Zniknięcie oscylacji (staggering) w wartościach prawdopodobieństw przejść E2 i M1 z  $\Delta I = 1$  wewnątrz pasm i pomiędzy pasmami nawet przy małej asymetrii  $\alpha$ .
- Słabe przejścia E2 i M1 z  $\Delta I = 1$  pomiędzy pasmami.

**Dla rdzeni asymetrycznych symptomy chiralności zanikają.**

Podobnie jest przy złamaniu  $\alpha$ -symetrii kolektywnej energii kinetycznej rdzenia ( $b_1 \neq 0$ ).

# Podsumowanie

## • Założenia

- Model rdzeń-cząstka-dziura jądra nieparzysto-nieparzystego jest, jako układ trzech ciał, naturalnym kandydatem układu chiralnego
- Wewnętrzny układ odniesienia jest zwykle używany do opisu rdzenia, ale...
- Układ trzech ciał jest opisywany w laboratoryjnym układzie odniesienia
- Żadne założenia o symetrii chiralnej nie są potrzebne i nie są czynione

## • Wyniki

- Dublety pasm rotacyjnych występują w każdym przypadku (stabilność  $B(E2; I \rightarrow I - 2)$ )
- Warunkiem wystarczającym występowania symptomów chiralności jest symetria  $S$  układu rdzeń-cząstka-dziura
- Cechą układu, która jest najbardziej czuła na łamanie symetrii  $S$  jest "staggering"

## • Problemy

- Czy układy o symetrii  $S$  to układy chiralne?
- Aby odpowiedzieć na to pytanie należy obliczyć kąty pomiędzy wektorami momentu pędu  $\vec{j}_\pi, \vec{j}_\nu, \vec{R}$ , czyli wartości średnie iloczynów:  $\vec{j}_\pi \cdot \vec{j}_\nu, \vec{j}_\pi \cdot \vec{R}, \vec{j}_\nu \cdot \vec{R}$  i  $(\vec{j}_\pi \times \vec{j}_\nu) \cdot \vec{R}$
- Wynik będzie pewno mało konkluzywny!

# Podsumowanie

## • Założenia

- Model rdzeń-cząstka-dziura jądra nieparzysto-nieparzystego jest, jako układ trzech ciał, naturalnym kandydatem układu chiralnego
- Wewnętrzny układ odniesienia jest zwykle używany do opisu rdzenia, ale...
- Układ trzech ciał jest opisywany w laboratoryjnym układzie odniesienia
- Żadne założenia o symetrii chiralnej nie są potrzebne i nie są czynione

## • Wyniki

- Dublety pasm rotacyjnych występują w każdym przypadku (stabilność  $B(E2; I \rightarrow I - 2)$ )
- Warunkiem wystarczającym występowania symptomów chiralności jest symetria  $S$  układu rdzeń-cząstka-dziura
- Cechą układu, która jest najbardziej czuła na łamanie symetrii  $S$  jest "staggering"

## • Problemy

- Czy układy o symetrii  $S$  to układy chiralne?
- Aby odpowiedzieć na to pytanie należy obliczyć kąty pomiędzy wektorami momentu pędu  $\vec{j}_\pi, \vec{j}_\nu, \vec{R}$ , czyli wartości średnie iloczynów:  $\vec{j}_\pi \cdot \vec{j}_\nu, \vec{j}_\pi \cdot \vec{R}, \vec{j}_\nu \cdot \vec{R}$  i  $(\vec{j}_\pi \times \vec{j}_\nu) \cdot \vec{R}$
- Wynik będzie pewno mało konkluzywny!



# Podsumowanie

## • Założenia

- Model rdzeń-cząstka-dziura jądra nieparzysto-nieparzystego jest, jako układ trzech ciał, naturalnym kandydatem układu chiralnego
- Wewnętrzny układ odniesienia jest zwykle używany do opisu rdzenia, ale...
- Układ trzech ciał jest opisywany w laboratoryjnym układzie odniesienia
- Żadne założenia o symetrii chiralnej nie są potrzebne i nie są czynione

## • Wyniki

- Dublety pasm rotacyjnych występują w każdym przypadku (stabilność  $B(E2; I \rightarrow I - 2)$ )
- Warunkiem wystarczającym występowania symptomów chiralności jest symetria  $S$  układu rdzeń-cząstka-dziura
- Cechą układu, która jest najbardziej czuła na łamanie symetrii  $S$  jest "staggering"

## • Problemy

- **Czy układy o symetrii  $S$  to układy chiralne?**
- Aby odpowiedzieć na to pytanie należy obliczyć kąty pomiędzy wektorami momentu pędu  $\vec{j}_\pi, \vec{j}_\nu, \vec{R}$ , czyli wartości średnie iloczynów:  $\vec{j}_\pi \cdot \vec{j}_\nu, \vec{j}_\pi \cdot \vec{R}, \vec{j}_\nu \cdot \vec{R}$  i  $(\vec{j}_\pi \times \vec{j}_\nu) \cdot \vec{R}$
- **Wynik będzie pewno mało konkluzywny!**

# Podsumowanie

## • Założenia

- Model rdzeń-cząstka-dziura jądra nieparzysto-nieparzystego jest, jako układ trzech ciał, naturalnym kandydatem układu chiralnego
- Wewnętrzny układ odniesienia jest zwykle używany do opisu rdzenia, ale...
- Układ trzech ciał jest opisywany w laboratoryjnym układzie odniesienia
- Żadne założenia o symetrii chiralnej nie są potrzebne i nie są czynione

## • Wyniki

- Dublety pasm rotacyjnych występują w każdym przypadku (stabilność  $B(E2; I \rightarrow I - 2)$ )
- Warunkiem wystarczającym występowania symptomów chiralności jest symetria  $S$  układu rdzeń-cząstka-dziura
- Cechą układu, która jest najbardziej czuła na łamanie symetrii  $S$  jest "staggering"

## • Problemy

- Czy układy o symetrii  $S$  to układy chiralne?
- Aby odpowiedzieć na to pytanie należy obliczyć kąty pomiędzy wektorami momentu pędu  $\vec{j}_\pi, \vec{j}_\nu, \vec{R}$ , czyli wartości średnie iloczynów:

$$\vec{j}_\pi \cdot \vec{j}_\nu, \vec{j}_\pi \cdot \vec{R}, \vec{j}_\nu \cdot \vec{R} \text{ i } (\vec{j}_\pi \times \vec{j}_\nu) \cdot \vec{R}$$

- Wynik będzie pewno mało konkluzywny!

# Podsumowanie

- Założenia
  - Model rdzeń-cząstka-dziura jądra nieparzysto-nieparzystego jest, jako układ trzech ciał, naturalnym kandydatem układu chiralnego
  - Wewnętrzny układ odniesienia jest zwykle używany do opisu rdzenia, ale...
  - Układ trzech ciał jest opisywany w laboratoryjnym układzie odniesienia
  - Żadne założenia o symetrii chiralnej nie są potrzebne i nie są czynione
- Wyniki
  - Dublety pasm rotacyjnych występują w każdym przypadku (stabilność  $B(E2; I \rightarrow I - 2)$ )
  - Warunkiem wystarczającym występowania symptomów chiralności jest symetria  $S$  układu rdzeń-cząstka-dziura
  - Cechą układu, która jest najbardziej czuła na łamanie symetrii  $S$  jest "staggering"
- Problemy
  - Czy układy o symetrii  $S$  to układy chiralne?
  - Aby odpowiedzieć na to pytanie należy obliczyć kąty pomiędzy wektorami momentu pędu  $\vec{j}_\pi, \vec{j}_\nu, \vec{R}$ , czyli wartości średnie iloczynów:  $\vec{j}_\pi \cdot \vec{j}_\nu, \vec{j}_\pi \cdot \vec{R}, \vec{j}_\nu \cdot \vec{R}$  i  $(\vec{j}_\pi \times \vec{j}_\nu) \cdot \vec{R}$
  - Wynik będzie pewno mało konkluzywny!